

01;03

## Неустойчивость заряженной сферической вязкой капли, движущейся относительно среды

© А.И. Григорьев, В.А. Коромыслов, С.О. Ширяева

Ярославский государственный университет им. П.Г. Демидова,  
150000 Ярославль, Россия  
E-mail: rectorat@uniyar.ac.ru

(Поступило в Редакцию 12 июля 1999 г.)

Показано, что с увеличением скорости потока, обтекающего заряженную каплю вязкой жидкости, критическая для реализации неустойчивости капли величина собственного заряда быстро снижается. Обнаружено, что в некоторых диапазонах значений величины собственного заряда, отношения плотностей сред и скорости внешней среды четные и нечетные моды капиллярных колебаний капли попарно взаимодействуют между собой, реализуя колебательную неустойчивость капли по отношению к тангенциальному разрыву поля скоростей на ее поверхности. При скоростях среды, превышающих значения, соответствующие таким диапазонам, инкременты неустойчивости нечетных мод превышают инкременты четных с меньшими номерами, что соответствует парашютообразной деформации капли в потоке.

В ряде академических, технических и технологических проблем приходится иметь дело с неустойчивостью заряженной вязкой капли, движущейся относительно среды. С проблемой устойчивости по отношению к тангенциальному скачку поля скоростей на свободной поверхности капли приходится сталкиваться при работе различных каплеструйных устройств, при распылении лакокрасочных материалов и жидких топлив [1–3]. Данная задача представляет также значительный интерес для проблемы грозового электричества в связи с исследованием физического механизма инициирования разрыва молнии, поскольку, согласно [4–6], молния может начаться с коронного разряда в окрестности свободного падающей крупной обводненной градины. Хотя исследованию неустойчивости капли, падающей в атмосфере либо движущейся с постоянной скоростью в более плотной среде, посвящено весьма значительное число работ [7], тем не менее условия реализации неустойчивости по отношению к тангенциальному разрыву поля скоростей на поверхности капли, движущейся относительно среды, остаются пока мало исследованными. Аналогичная задача при наличии заряда на капле почти не исследовалась. Из общих соображений очевидно, что в этом случае должны реализоваться неустойчивости двух типов: неустойчивость капли по отношению к собственному заряду [3,8] и неустойчивость границы раздела капли и среды по отношению к тангенциальному разрыву поля скоростей, т.е. неустойчивость типа Кельвина–Гельмгольца [9,10].

В связи с вышесказанным представляется интересным рассмотреть условия возникновения неустойчивости заряженной капли вязкой жидкости, движущейся с постоянной скоростью в среде. При решении задачи будем рассматривать внешнюю среду как идеальную жидкость.

1. Пусть идеальная несжимаемая диэлектрическая жидкость с плотностью  $\rho_1$  и диэлектрической проницаемостью  $\varepsilon$  движется с постоянной скоростью  $\mathbf{U}$  отно-

сительно сферической капли радиуса  $R$  идеально проводящей жидкости с плотностью  $\rho_2$  и кинематической вязкостью  $\nu_2$ , имеющей заряд  $Q$ . Найдем критические условия неустойчивости капиллярных колебаний капли в описанных условиях. Все рассмотрение проведем в сферической системе координат с началом отсчета в центре капли в линейном приближении по  $\xi(\Theta, t)$  — величине возмущения равновесной сферической поверхности капли, связанного с капиллярным волновым движением жидкости. Уравнение возмущенной поверхности капли запишем в виде  $r(\Theta, t) = R + \xi(\Theta, t)$ .

Система уравнений гидродинамики, описывающая капиллярные движения жидкости в такой системе, будет состоять из уравнений Эйлера для потенциального движения среды (т.е.  $\text{rot } \mathbf{V}_1 = 0$ ) и Навье–Стокса для капли

$$\frac{\partial \mathbf{V}_1}{\partial t} + \frac{1}{2} \nabla (V_1^2) = -\frac{1}{\rho_1} \nabla P_1, \quad (1)$$

$$\frac{\partial \mathbf{V}_2}{\partial t} = -\frac{1}{\rho_2} \nabla P_2 + \nu_2 \Delta \mathbf{V}_2 \quad (2)$$

и уравнений непрерывности

$$\text{div } \mathbf{V}_j = 0; \quad j = 1, 2 \quad (3)$$

с граничными условиями

$$r = 0: \quad \mathbf{V}_2 = 0, \quad (4)$$

$$r = R: \quad \frac{\partial \xi}{\partial t} = V_{1r} - \frac{1}{r} V_{1\theta} \frac{\partial \xi}{\partial \Theta}, \quad \frac{\partial \xi}{\partial t} = V_{2r}, \quad (5)$$

$$\mathbf{n}(\mathbf{r} \cdot \nabla) \mathbf{V}_2 + \tau(\mathbf{n} \cdot \nabla) \mathbf{V}_2 = 0, \quad (6)$$

$$-P_1 - P_\sigma + P_E = -P_2 + 2\rho_2 \nu_2 \mathbf{n}_1(\mathbf{n} \cdot \nabla) \mathbf{V}_2, \quad (7)$$

$$r \rightarrow \infty: \quad \mathbf{V}_1 = \mathbf{U}, \quad (8)$$

условий неизменности объемов обеих сред

$$\int_{\Omega} \xi(\Theta, \varphi, t) d\Omega = 0 \quad (9)$$

и условия неподвижности центра масс системы

$$\int_{\Omega} (\Theta, \varphi, t) \mathbf{e}_r d\Omega = 0. \quad (10)$$

Здесь и далее индекс 1 соответствует параметрам внешней среды, индекс 2 — параметрам капли;  $\mathbf{n}$  и  $\boldsymbol{\tau}$  — орты нормали и касательной к поверхности раздела капля–среда;  $\mathbf{V}_j(\mathbf{r}, t)$  и  $P_j(\mathbf{r}, t)$  — поля скоростей и давлений соответственно;  $P_{\sigma}$  — возмущение давления сил поверхностного натяжения [9]

$$P_{\sigma}(\xi) = -\frac{\sigma}{R^2}(2 + \Delta_{\Omega})\xi, \quad (11)$$

$\sigma$  — коэффициент поверхностного натяжения на границе раздела сред;  $\Delta_{\Omega}$  — угловая часть оператора Лапласа в сферической системе координат;  $P_E$  — возмущение давления электрического поля, связанное с возмущением поверхности капли [11]

$$P_E = \frac{Q^2}{4\pi\epsilon} \sum_{n=0}^{\infty} \sum_{m=-n}^n (n+1) A_{nm} Y_n^m(\Theta, \varphi) - \frac{Q^2}{2\pi\epsilon} \xi,$$

$$A_{nm} = Q \int_0^{\pi} \int_0^{2\pi} \xi(\Theta, \varphi, t) Y_n^m(\Theta, \varphi) \sin \Theta d\Theta d\varphi. \quad (12)$$

$Y_n^m(\Theta, \varphi)$  — нормированные сферические функции,  $d\Omega$  — элемент телесного угла.

В (1) слагаемое  $\sim V_1^2$  сохранено, так как содержит слагаемые нулевого и первого порядка малости. Условия (9), (10) ограничивают снизу спектр капиллярных колебаний системы [11].

**2.** Чтобы упростить решение задачи, целесообразно перейти от  $MTL$  размерного базиса, где  $M, L, T$  — размерности массы, длины, времени, к другому, более удобному базису, уменьшающему число параметров задачи. Для обезразмеривания в качестве основных единиц выберем размерности объемной плотности вещества капли  $\rho_2$ , радиуса капли  $R$  и коэффициента поверхностного натяжения  $\sigma$ , приняв их равными единице  $\rho_2 = R = \sigma = 1$ . Характерные масштабы величин в новом базисе имеют вид

$$r_* = R, \quad t_* = R^{3/2} \rho_2^{1/2} \sigma^{-1/2}, \quad U_* = R^{-1/2} \rho_2^{-1/2} \sigma^{1/2},$$

$$P_* = R^{-1} \sigma, \quad Q_* = R^{3/2} \sigma^{1/2}, \quad \nu_* = R^{1/2} \rho_2^{-1/2} \sigma^{1/2}.$$

Обозначим безразмерные величины  $\nu_2 \equiv \nu_1, \rho_1 \equiv \rho$ .

В силу осевой симметрии задачи в дальнейшем не будем учитывать зависимость величин от угла  $\varphi$ , что в данной задаче будет означать отсутствие тороидальной вихревой компоненты поля скоростей, которая не представляет интереса, поскольку не взаимодействует с потенциальной и вихревой полоидальной компонентами скорости [11] и не влияет на устойчивость капли. Поле

скоростей в капле  $V_2$  будем представлять согласно [11] в виде суммы двух ортогональных полей

$$\mathbf{V}_2(\mathbf{r}, t) = \nabla \Psi_1(\mathbf{r}, t) + \nabla \times (\nabla \times \mathbf{r}) \Psi_2(\mathbf{r}, t), \quad (13)$$

где первое слагаемое определяет потенциальную часть поля скоростей, а второе — вихревую полоидальную.

Поле скоростей в среде в окрестности невозмущенной поверхности сферической капли в соответствии с [9,10] представим в виде

$$\mathbf{V}_1 = \nabla \varphi + \nabla \varphi^{(0)},$$

$$\mathbf{V}_1^{(0)} = \nabla \varphi^{(0)} = -\frac{R^3}{2r^3} [3\mathbf{n}(\mathbf{U} \cdot \mathbf{n}) - \mathbf{U}] + \mathbf{U}, \quad (14)$$

где  $\Psi_1, \Psi_2, \varphi$  — величины первого порядка малости.

**3.** Выражения для скалярных функций  $\Psi_1(\mathbf{r}, t), \Psi_2(\mathbf{r}, t)$  и  $\varphi(\mathbf{r}, t)$ , через которые выражается поле скоростей движения жидкости в среде и капле, и возмущение равновесной сферической поверхности капли  $\xi(\mathbf{r}, t)$  будем искать в виде

$$\Psi_j(\mathbf{r}, t) = \sum_n \Psi_{jn}(r) Y_n(\Theta) \exp(St) \quad (j = 1, 2),$$

$$\varphi(\mathbf{r}, t) = \sum_n \varphi_n(r) Y_n(\Theta) \exp(St);$$

$$\xi(\mathbf{r}, t) = \sum_n Z_n Y_n(\Theta) \exp(St). \quad (15)$$

Решение задачи (1)–(15) проведем методом скаляризации, подробно описанным в [11] и проиллюстрированным на задачах [12–15]. Поэтому, не останавливаясь на промежуточных расчетах, приведем окончательную систему алгебраических уравнений относительно неизвестных амплитуд  $Z_n$  капиллярных движений жидкости, формирующих рельеф возмущения границы раздела сред,

$$\rho U^2 K_n Z_{n-2} - \rho U S L_n Z_{n-1} + \{ \varkappa_n S^2 + 2\nu F_n(x) S - \rho U^2 M_n + \gamma_n \} Z_n + \rho U S I_n Z_{n+1} + \rho U^2 J_n Z_{n+2} = 0,$$

$$W \equiv \frac{Q^2}{4\pi\epsilon}, \quad M_n \equiv \frac{9\alpha_n \beta_{n-1}}{2n} + \frac{9\beta_n \alpha_{n+1}}{2(n+2)},$$

$$K_n \equiv \frac{9\alpha_n \alpha_{n-1}}{2n}, \quad L_n \equiv \frac{(9n+6)\alpha_n}{2n(n+1)},$$

$$I_n \equiv \frac{(9n+12)\beta_n}{2(n+1)(n+2)}, \quad J_n \equiv \frac{9\beta_n \beta_{n+1}}{2(n+2)},$$

$$\alpha_n \equiv \frac{n(n-1)}{\sqrt{(2n-1)(2n+1)}}, \quad \beta_n \equiv \frac{(n+1)(n+2)}{\sqrt{(2n+1)(2n+3)}},$$

$$x = \sqrt{\frac{S}{\nu}}, \quad \varkappa_n \equiv \frac{\rho}{(n+1)} + \frac{1}{n}, \quad \gamma_n \equiv (n-1)[n+2-W],$$

$$F_n(x) = \frac{1}{n}(n-1)(2n+1) + \frac{1}{n}(n-1)^2(n+1) \left[ 1 - \frac{x}{2} \frac{i_n(x)}{i_{n+1}(x)} \right]^{-1}, \quad (16)$$

$i_n(x)$  — сферические функции Бесселя.

В предельном переходе к невязкой капле рассматриваемая задача переходит в задачу о движении с постоянной скоростью  $U$  капли идеальной жидкости в идеальной среде, разобранный в [10], а поскольку при  $\nu \rightarrow 0$  стремится к нулю и  $F_n(x)$  [11], то уравнение (16) сводится к соответствующему уравнению, полученному в [10]. Если взять нулевую плотность внешней среды ( $\rho = 0$ ), исходная задача редуцируется к задаче о капиллярных колебаниях заряженной вязкой капли в вакууме, решенной в [11,12], а уравнение (16) сводится к полученному там уравнению. При  $U = 0$  получаем задачу о капиллярных колебаниях заряженной капли в диэлектрической среде, к которой сводится при  $\nu_1 = 0$  задача, рассмотренная в [15]. Таким образом, предельные переходы к более простым ситуациям выполняются.

4. Предельный случай капли маловязкой жидкости позволяет аналитически исследовать влияние вязкости на собственные частоты капиллярных колебаний, декременты их затухания и инкременты неустойчивости. В этом случае  $x \gg 1$  можно воспользоваться асимптотическим разложением для сферических функций Бесселя при больших значениях аргумента [11]

$$i_n(x)|_{x \gg 1} \approx \frac{1}{2x} e^x \left[ 1 + 0 \left( \frac{1}{x} \right) \right],$$

тогда отношение сферических функций Бесселя имеет асимптотику

$$\frac{i_n(x)}{i_{n+1}(x)} \Big|_{x \gg 1} \approx 1 + 0 \left( \frac{1}{x} \right),$$

а зависимость от вязкости  $\nu$  и частоты  $S$  громоздкого второго слагаемого в фигурных скобках в (16) имеет вид

$$2\nu F_n(x)S \sim 2\nu F_{n0}S - 2\nu\sqrt{\nu S}, \quad F_{n0} = \frac{1}{n}(n-1)(2n+1).$$

Сохраняя в (16) слагаемые не выше первого порядка малости по  $\nu$ , без учета взаимодействия мод получим дисперсионное уравнение

$$\varkappa_n S^2 + 2\nu F_{n0}S - \rho U^2 M_n + \gamma_n = 0. \quad (17)$$

Решения (17) легко выписываются

$$S = -\nu(n-1)(2n+1) \cdot \left( \frac{n\rho}{(n+1)} + 1 \right)^{-1} \pm \sqrt{[n(n-1)[W-(n+2)] + n\rho U^2 M_n] \cdot \left( \frac{n\rho}{(n+1)} + 1 \right)^{-1}}.$$

Из данного выражения следует, что а) если

$$W < (n+2) - \frac{1}{(n-1)}\rho U^2 M_n, \quad (18)$$

то величина  $S$  определяет собственные частоты колебаний поверхности заряженной капли маловязкой жидкости  $\omega_n$ , совпадающие с собственными частотами колебаний капли идеальной жидкости; учет же вязкости приводит к появлению пропорционального вязкости декремента затухания  $\beta_n$  собственных колебаний поверхности капли

$$S = -\beta_n \pm i\omega_n \equiv -\nu(n-1)(2n+1) \cdot \left( \frac{n\rho}{(n+1)} + 1 \right)^{-1} \pm i\sqrt{[n(n-1)[(n+2)-W] - n\rho U^2 M_n] \cdot \left( \frac{n\rho}{(n+1)} + 1 \right)^{-1}};$$

б) если выполняется условие, противоположное (18), то  $S$  характеризует инкремент нарастания неустойчивости заряженной капли маловязкой жидкости  $\delta_n$ , который оказывается несколько меньше (а именно на величину декремента  $\beta_n$ ) инкремента неустойчивости заряженной капли идеальной жидкости  $\delta_{n0}$ , численно равного  $|\omega_n|$

$$S = \delta_n = \delta_{n0} - \beta_n \equiv |\omega_n| - \beta_n;$$

с) как и в случае идеальной жидкости [10], знак равенства в (18) определяет положение границы, разделяющей устойчивые и неустойчивые решения и критическую связь между зарядом капли и скоростью ее движения относительно среды.

5. Для того чтобы проанализировать случай сильновязкой жидкости ( $x \rightarrow 0$ ), можно воспользоваться асимптотическим разложением для сферических функций Бесселя по малому аргументу [11]

$$\left[ \frac{x}{2} \frac{i_n(x)}{i_{n+1}(x)} - 1 \right]^{-1} \approx \frac{2}{(2n+1)} \left[ 1 - \frac{x^2}{(2n+1)(2n+5)} + \frac{x^4}{(2n+1)(2n+5)^2(2n+7)} \dots \right]. \quad (19)$$

Подставляя (19) в уравнение (16), пренебрегая взаимодействием мод и собирая слагаемые с одинаковыми степенями  $S$ , получим дисперсионное уравнение в приближении большой вязкости

$$\left[ A_n + \frac{n\rho}{(n+1)} \right] S^2 + B_n S \nu - n\rho U^2 M_n + n\gamma_n = 0, \\ A_n = \frac{3(4n^3 + 8n^2 + 6n + 3)}{(2n+1)^2(2n+5)}, \\ B_n = \frac{2(n-1)(2n^2 + 4n + 3)}{(2n+1)}. \quad (20)$$

Решения уравнения (20) имеют вид

$$S = \left[ -B_n \nu \pm \sqrt{B_n^2 \nu^2 + 4 \left[ A_n + \frac{n\rho}{n+1} \right] \times [n(n-1)[W-(n+2)] + n\rho U^2 M_n]} \right] \times \left[ A_n + \frac{n\rho}{n+1} \right]^{-1}. \quad (21)$$

Проанализируем зависимость этих решений от величины параметра  $W$ .

а) Если выполняется условие (18) и все выражение под знаком квадратного корня отрицательно, то выражение для  $S$  становится комплексным. Мнимая компонента  $S$  определяет частоты собственных колебаний поверхности  $\omega_n$ , а модуль вещественной компоненты — декременты затухания  $\beta_n$ . Поверхность капли совершает затухающие колебания

$$S = -\beta_n \pm i\omega_n.$$

б) Если условие (18) справедливо, но вязкость  $\nu$  настолько велика, что выражение под знаком квадратного корня положительно, то оба корня уравнения (21) отрицательны. Их абсолютные величины определяют декременты затухания возмущения формы поверхности капли  $\beta_n^{(1)}$  и  $\beta_n^{(2)}$ . При этом зависимость от времени амплитуды возмущения, описываемого сферической функцией  $n$ -го порядка  $Y_n(\Theta)$  (см. (15)) будет определяться линейной комбинацией двух экспонент

$$Z_n = C_1 \exp(-\beta_n^{(1)}t) + C_2 \exp(-\beta_n^{(2)}t).$$

Очевидно, что при малых значениях времени  $t$  ( $t \rightarrow 0$ ) затухание возмущения будет характеризовать меньший декремент  $\beta_n^{(1)}$ , так как экспонента с большим значением ( $\beta_n^{(2)}$ ) исчезает раньше.

Условие обращения в нуль подкоренного выражения в (21) разделяет периодические и аperiodические, затухающие со временем решения

$$\begin{aligned} & [n(n-1)[n+2-W] - n\rho U^2 M_n] \nu_{kp}^{-2} \\ &= \frac{B_n}{4} \left[ A_n + \frac{n\rho}{n+1} \right]^{-1}. \end{aligned} \quad (22)$$

Уравнение (22) определяет точки бифуркации, т.е. такие значения вязкости  $\nu_{kp}$  (для заданного заряда капли  $Q$  и номера моды колебаний  $n$ ), при которых частота колебания  $\omega_n$  обращается в нуль, и вместо одного декремента затухания  $\beta_n$  появляются два:  $\beta_n^{(1)}$  и  $\beta_n^{(2)}$ . Численные расчеты, произведенные при  $W = 0$ ,  $\rho = 0$ ,  $U = 0$ , дают следующие результаты критических значений безразмерной вязкости, при которой исчезают капиллярные колебания:  $\nu \approx 2.1$  (для  $n = 2$ ),  $\nu \approx 2.66$  (для  $n = 3$ ),  $\nu \approx 3.15$  (для  $n = 4$ ),  $\nu \approx 3.57$  (для  $n = 5$ ),  $\nu \approx 3.96$  (для  $n = 6$ ),  $\nu \approx 4.31$  (для  $n = 7$ ). Из (22) видно, что рост параметра Рэлея  $W$  и скорости среды  $U$  снижают критическое значение безразмерной вязкости  $\nu$ . При малых значениях скорости ( $U \leq 1$ ) увеличение относительной плотности среды приводит к увеличению критического значения безразмерной вязкости  $\nu$ , при больших значениях скорости — к снижению.

с) Если выполняется условие, противоположное (18), но корни уравнения (21) вещественны и противоположны по знаку, то поверхность капли неустойчива, так

как появляются экспоненциально растущие со временем решения. Величина положительного корня определяет инкремент нарастания неустойчивости  $\delta_n$ , который существенно зависит от вязкости,

$$\begin{aligned} \delta_n = & \left[ \sqrt{B_n \nu^2 + 4 \left[ A_n + \frac{n\rho}{n+1} \right] \times} \right. \\ & \left. \times [n(n-1)[W - (n+2)] + n\rho U^2 M_n] - B_b \nu \right] \\ & \times \left[ A_n + \frac{n\rho}{n+1} \right]^{-1}. \end{aligned}$$

Таким образом, как и в предельных случаях идеальной и маловязкой жидкости, для сильновязкой жидкости знак равенства в (18) определяет положение границы между устойчивыми и неустойчивыми решениями и критическую связь между зарядом капли и скоростью ее движения относительно среды.

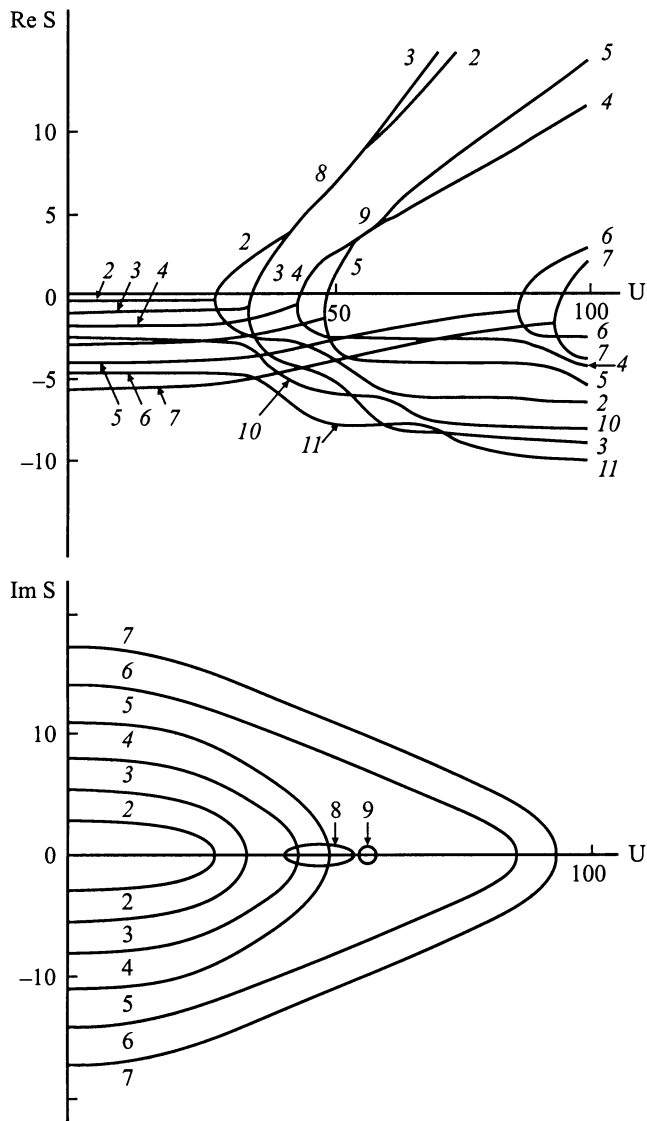
6. Вернемся к исследованию общего случая произвольной вязкости. Необходимым и достаточным условием существования нетривиальных решений однородной системы (16) является равенство нуля определителя, составленного из коэффициентов при искомым амплитудам  $Z_n$ ,

$$\begin{vmatrix} \chi_2 & \rho U S I_2 & \rho U^2 J_2 & 0 & \dots \\ -\rho U S L_3 & \chi_3 & \rho U S I_3 & \rho U^2 J_3 & \dots \\ \rho U^2 K_4 & -\rho U S L_4 & \chi_4 & \rho U S I_4 & \dots \\ 0 & \rho U^2 K_5 & -\rho U S L_5 & \chi_5 & \dots \\ \dots & \dots & \dots & \dots & \dots \end{vmatrix} = 0,$$

$$\begin{aligned} \chi_j &= \varkappa_j S^2 + 2\nu F_j - \rho U^2 M_j + \gamma_j; \\ j &= 2, 3, 4, 5, \dots \end{aligned} \quad (23)$$

Это соотношение является дисперсионным уравнением, определяющим спектр капиллярных колебаний капли в зависимости от безразмерных физических параметров  $W$ ,  $U$ ,  $\rho$  и  $\nu$ . Варьирование этих величин изменяет спектр капиллярных колебаний: при определенных значениях  $W$ ,  $U$  и  $\rho$  некоторые из решений  $S_n^2$  обращаются в нуль, а при дальнейшем изменении параметров становятся положительными. При этом амплитуды соответствующих капиллярных колебаний будут экспоненциально расти со временем, т.е. капля станет неустойчивой и распадется [3]. Условием появления нулевых решений дисперсионного уравнения является обращение в нуль свободного коэффициента уравнения (23). Это условие определяет критическую для реализации неустойчивости капли связь между ее зарядом и скоростью, и его несложно записать, положив в уравнении (23)  $S = 0$ . Численный расчет по получающемуся соотношению показывает, что искомая критическая связь между  $W$  и  $U$  слабо отличается от аналитической, получаемой в пренебрежении взаимодействием мод,

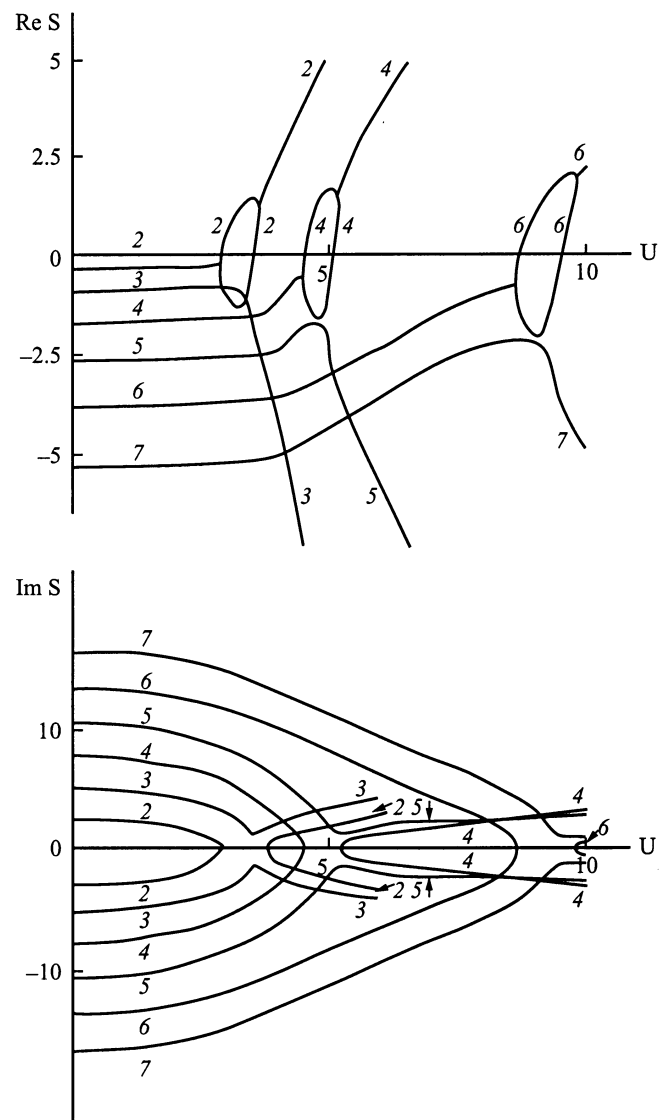
$$W_n = (n+2) - (n-1)^{-1} \rho U M_n^2. \quad (24)$$



**Рис. 1.** Зависимость вещественной  $\text{Re } S(U)$  и мнимой  $\text{Im } S(U)$  компонент безразмерной частоты  $S$  капиллярных колебаний капли от безразмерной скорости  $U$  обтекающего потока при  $\rho = 10^{-3}$ ,  $\nu = 0.1$  и  $W = 0$ .

Быстрое снижение критического для реализации неустойчивости капли по отношению к собственному заряду значения параметра  $W$  с увеличением  $\rho U^2$  дает основание для реанимирования физической модели инициирования разряда молнии, разрабатывавшейся в [4–6]. Изложенные там представления основаны на идее зажигания коронного разряда в окрестности крупной тающей градины, свободно падающей в грозовом облаке. Полученные выше результаты позволяют произвести корректные численные оценки и согласовать модель инициирования разряда с реалиями грозового облака (по измеряемым величинам зарядов, скорости падения капель и напряженности внутриоблачного электрического поля).

Численные расчеты методом последовательных приближений по дисперсионному уравнению (23) показывают, что качественный ход зависимости частоты капиллярных колебаний капли от скорости набегающего потока  $S = S(U)$  для различных мод при  $W = 0$ ,  $\nu = 0.1$  одинаков и при  $\rho = 10^{-3}$  для первых шести мод проиллюстрирован рис. 1. Номера кривых 2–7 соответствуют номерам мод. Ветви 1 нет, так как соответствующая мода отвечает за трансляционное перемещение капли [9]. Обращает на себя внимание эффект попарного взаимодействия мод, второй с третьей и четвертой с пятой, приводящий к появлению колебательных решений 8 и 9 соответственно. Части кривых  $\text{Re } S = \text{Re } S(U)$ , лежащие в области  $\text{Re } S > 0$ , определяют инкременты неустойчивости соответствующих мод капиллярных колебаний капли. Таким образом, в определенном диапазоне скоростей неустойчивость капли является колебательной



**Рис. 2.** То же, что на рис. 1, при  $\rho = 0.1$ . Ветви полоидальных движений не приведены.

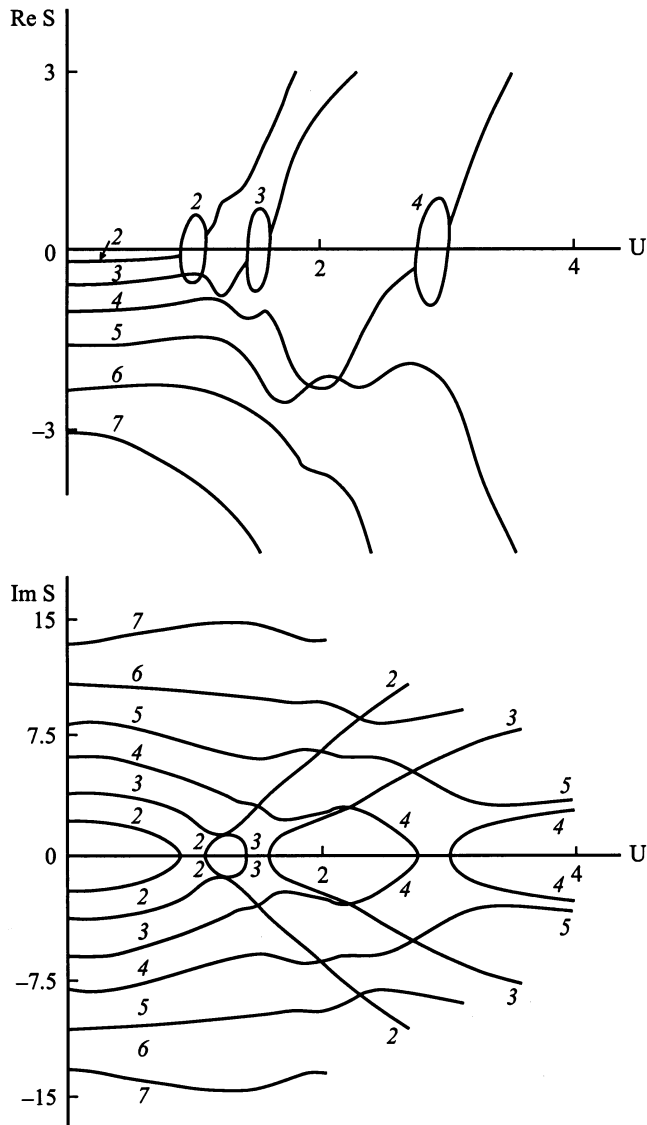


Рис. 3. То же, что на рис. 1, при  $\rho = 1$ .

(ветви 8, 9), что характерно для неустойчивости типа Кельвина–Гельмгольца [9,10,16]. Кривые 10, 11 соответствуют аperiodическим вихревым полоидальным движениям жидкости, которые не влияют на устойчивость капли. Подробнее о вихревых полоидальных движениях жидкости в заряженной капле изложено в [13,15].

Интересно, что правее диапазона скоростей, в котором реализуется взаимодействие второй и третьей мод, инкремент аperiodической неустойчивости третьей моды превышает инкремент аperiodической неустойчивости второй моды. Аналогичная картина наблюдается и для четвертой и пятой мод. Это обстоятельство можно прокомментировать, исходя из уравнений (16), в пренебрежении взаимодействием мод. Легко видеть, что производная от  $S_n^2$  по  $\rho U^2$ , определяющая скорость роста  $S_n$  с изменением  $U$ , пропорциональна  $n \cdot M_n \sim n^3$ . Т.е. и в отсутствие взаимодействия мод инкременты

неустойчивости высоких мод с увеличением скорости обдувающего потока растут с повышением номера моды. Собственно говоря, при анализе классической неустойчивости Кельвина–Гельмгольца на плоской свободной поверхности жидкости также отмечается рост волнового числа наиболее неустойчивой волны при увеличении скорости сдвигового потока [9,16].

Указанное различие в величинах инкрементов второй и третьей мод феноменологически должно проявляться в закономерностях распада неустойчивой капли. Так, если при заданных значениях плотности капли, среды и скорости обдувающего потока (скорости падения капли в неподвижной среде) максимальный инкремент неустойчивости имеет вторая (основная) мода, то неустойчивая капля приобретает форму, близкую к сфероиду

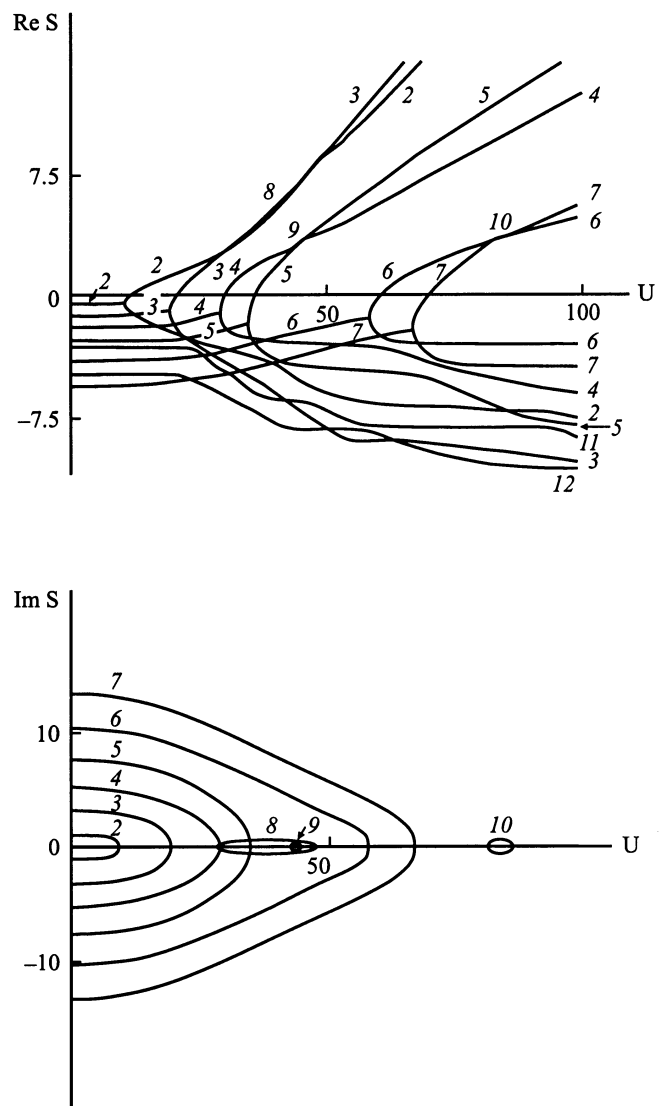
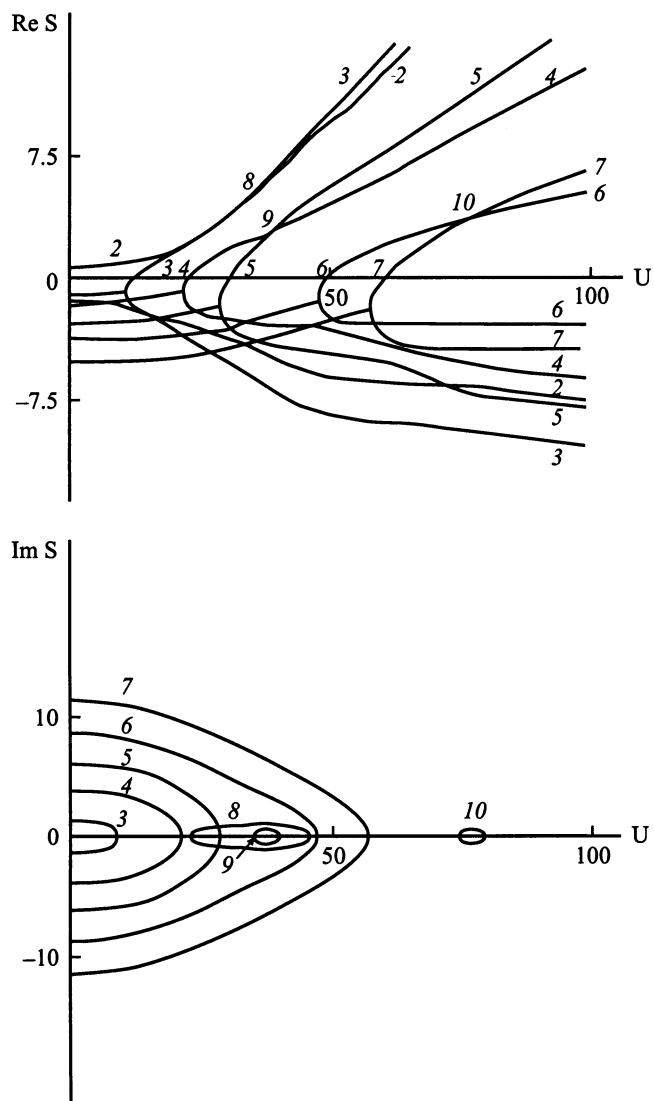


Рис. 4. То же, что на рис. 1, при докритическом по Рэлею заряде капли  $W = 3.5$ . Номера ветвей 2–7 совпадают с номерами мод. Ветвь 10 является результатом взаимодействия мод 6 и 7. Ветви 11, 12 соответствуют вихревым полоидальным движениям жидкости.



**Рис. 5.** То же, что на рис. 4, при закритическом по Рэлею заряде капли  $W = 4.5$ . Ветви полоидальных движений не приведены.

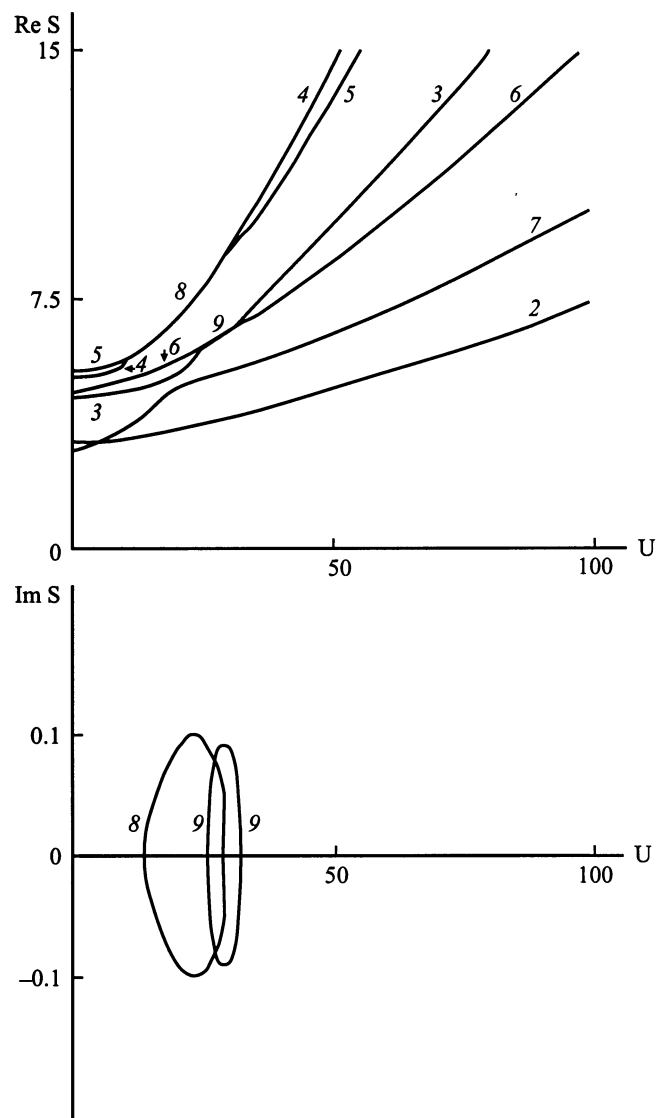
вращения (определяемую вторым полиномом Лежандра  $P_2(\cos \Theta)$ ), а затем распадается согласно закономерностям, описанным в [8,17]. Если максимальный инкремент неустойчивости имеет третья мода, то неустойчивая капля приобретает парашютообразную форму (определяемую третьим полиномом Лежандра  $P_3(\cos \Theta)$ ) и распадается на множество мелких и несколько крупных фрагментов [7]. Отмечается в экспериментах и колебательная неустойчивость свободно падающей капли [7].

Численные расчеты показывают, что с ростом плотности среды не только снижается критическое значение безразмерной скорости  $U$ , необходимое для реализации неустойчивости  $n$ -й моды, но и несколько меняется спектр движений жидкости. Колебательная неустойчивость, реализующаяся в результате взаимодействия второй и третьей мод, проявляется во всем диапазоне

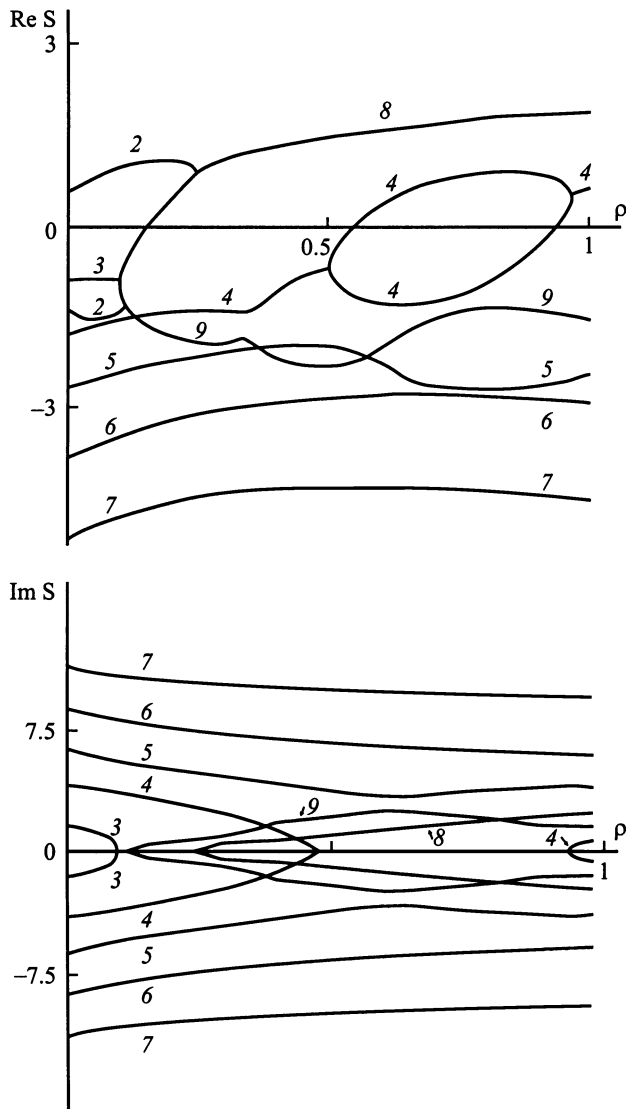
$U > 12$ . Имеет место не только расширение области неустойчивости типа Кельвина–Гельмгольца, но и рост частот, соответствующих данным решениям. В остальном качественные зависимости хода кривых  $S = S(U)$  сходны с приведенными на рис. 1.

Зависимости  $S = S(U)$ , представленные на рис. 2 и 3, рассчитаны при  $\rho = 0.1$  (рис. 2) и 1 (рис. 3). Видно, что неустойчивость претерпевают только четные моды. Декременты затухания нечетных мод капиллярных движений в области, где должна осуществляться неустойчивость данных мод, быстро растут с увеличением скорости обтекающего потока.

Критические скорости, при которых реализуется неустойчивость различных мод капиллярных колебаний капли по отношению к тангенциальному скачку поля скоростей на ее поверхности, а также спектр колебаний, претерпевающих неустойчивость, зависят от отношения



**Рис. 6.** То же, что на рис. 4, при существенно закритическом по Рэлею заряде капли  $W = 10$ . Ветви полоидальных движений не приведены.



**Рис. 7.** Зависимость вещественной  $Re S(\rho)$  и мнимой  $Im S(\rho)$  компонент частоты  $S$  капиллярных колебаний капли от отношения плотностей среды и капли при  $\nu = 0.1$ ,  $U = 1$  и  $W = 4.5$ . Номера кривых 2–7 совпадают с номерами соответствующих мод, ветви 8, 9 — движения, образовавшиеся при взаимодействии мод.

плотностей сред. Так, из рис. 2 и 3 видно, что при  $\rho = 10^{-1}$  неустойчивость испытывают только четные моды, а при  $\rho = 1$  и меньших значениях скоростей — и четные, и нечетные. Амплитуды всех неустойчивых мод по мере увеличения скорости среды сначала растут аperiodически, а при более высоких скоростях неустойчивость становится колебательной. Для аperiodически неустойчивых ветвей на рис. 2 и 3 характерна неоднозначность.

При наличии на капле заряда, докритичного в смысле устойчивости по Рэлею (рис. 4), основные тенденции зависимости  $S = S(U)$  совпадают с описанными выше. Влияние заряда приводит лишь к уменьшению критиче-

ских значений скорости, при которых капля становится неустойчивой, что согласуется с аналитической зависимостью (24).

Рис. 5 иллюстрирует ситуацию, когда собственный заряд слабо закритичен по отношению к рэлеевскому распаду:  $W = 4.5$  (капля становится неустойчивой при  $W = 4$  [3]). Приведенная зависимость  $S = S(U)$  похожа на представленную на рис. 4, но по сравнению с рис. 4 еще больше снижается критическое значение скорости, при котором капля претерпевает неустойчивость Кельвина–Гельмгольца, а вторая мода неустойчива изначально.

На рис. 6 представлена зависимость  $S = S(U)$  для сильно закритичного заряда  $W = 10$ . Отличием данной ситуации от рассмотренных выше является то, что инкремент основной моды имеет минимальную величину по сравнению с инкрементами неустойчивости более высоких мод, неустойчивость которых колебательная или аperiodическая (в зависимости от скорости  $U$ ), и определяет распад капли. Интересно, что проявляется взаимодействие несоседних мод — третьей и шестой, приводящее к образованию колебательно-неустойчивой ветви.

Согласно численным расчетам, с ростом  $\rho$  декременты и частоты капиллярных движений жидкости уменьшаются незначительно. На рис. 7 приведены зависимости вещественной и мнимой компонент частоты от отношения плотностей среды и капли для закритического значения заряда капли  $W = 4.5$ . Ветви 8 и 9 представляют движения, образовавшиеся при взаимодействии мод. Ветвь 8 соответствует колебательно-неустойчивому движению, ветвь 9 — колебательно-затухающему.

### Заключение

Заряженная капля в обтекающем ее потоке способна претерпевать неустойчивость, сопровождающуюся эмиссией сильно заряженных капель, при меньшей, чем в случае неподвижной внешней среды, величине собственного заряда. Это происходит в результате суперпозиции двух типов неустойчивости: неустойчивости свободной поверхности капли по отношению к тангенциальному скачку поля скоростей и неустойчивости по отношению к собственному заряду. В зависимости от отношения плотностей капли и среды, величины ее заряда и скорости обдувающего потока капля может претерпевать как аperiodическую, так и колебательную неустойчивости. Аperiodическая неустойчивость реализуется при малых скоростях обдувающего потока путем деформации к вытянутому сфероиду и распаду капли за счет сил электростатического отталкивания, либо по рэлеевскому механизму [8], либо путем распада на несколько фрагментов сравнимых размеров [17]. При больших скоростях обдувающего потока аperiodическая неустойчивость реализуется путем деформации капли к парашютообразной



форме (вследствие возбуждения неустойчивости нечетных мод) и распаду за счет аэродинамических сил на множество мелких и несколько крупных капель. Результаты проведенного анализа качественно согласуются с данными наблюдений и экспериментов [7].

## Список литературы

- [1] Монодиспергирование вещества. Принципы и применение / Под ред. В.А. Григорьева. М.: Энергоатомиздат, 1991. 332 с.
- [2] Шевченко С.И., Григорьев А.И., Ширяева С.О. // Научное приборостроение. 1991. Т. 1. № 4. С. 3–21.
- [3] Григорьев А.И., Ширяева С.О. // Изв. РАН. МЖГ. 1994. № 3. С. 3–22.
- [4] Мучник В.М., Рудько Ю.С. // Труды УкрНИГМИ. Вып. 103. 1971. С. 96–101.
- [5] Дячук В.А., Мучник В.М. // ДАН СССР. 1979. Т. 248. № 1. С. 60–63.
- [6] Grigor'ev A.I., Shiryayeva S.O. // Phys. Scripta. 1996. Vol. 54. P. 660–666.
- [7] Гонор А.Л., Ривкин В.Я. // Итоги науки и техники. Сер. Механика жидкости и газа. Т. 17. М.: Изд-во ВИНТИ, 1982. С. 98–159.
- [8] Григорьев А.И., Ширяева С.О. // ЖТФ. 1991. Т. 61. Вып. 3. С. 19–28.
- [9] Ландау Л.Д., Лифшиц Е.М. Гидродинамика. М.: Наука, 1986. 733 с.
- [10] Григорьев А.И., Коромыслов В.А., Ширяева С.О. // ЖТФ. 1999. Т. 69. Вып. 5. С. 7–14.
- [11] Ширяева С.О., Лазарянец А.Э. и др. Метод скаляризации векторных краевых задач // Препринт ИМРАН. Ярославль, 1994. № 27. 128 с.
- [12] Григорьев А.И., Лазарянец А.Э. // ЖВММФ. 1992. Т. 32. № 6. С. 929–938.
- [13] Ширяева С.О., Муничев М.И., Григорьев А.И. // ЖТФ. 1996. Т. 66. Вып. 7. С. 1–8.
- [14] Григорьев А.И., Ширяева С.О. // Изв. РАН. МЖГ. 1997. № 5. С. 107–118.
- [15] Григорьев А.И., Ширяева С.О., Коромыслов В.А. // ЖТФ. 1998. Т. 68. Вып. 9. С. 1–8.
- [16] Григорьев В.А., Ширяева С.О. // ЖТФ. 1996. Т. 66. Вып. 2. С. 23–34.
- [17] Коромыслов В.А., Григорьев А.И., Ширяева С.О. // ЖТФ. 1998. Т. 68. Вып. 8. С. 31–38.